

Convex Optimization Homework #5

1700012751

麦景

Convex Optimization Homework #5

FYI

Problem #1

Problem #2

Problem #3 (a) & (b)

Problem #3 (c) (d) & (e)

Problem #4 (f) (g) & (h)

FYI

本次作业使用python完成, 并托管在[Github](#)上. 关于Python环境配置和所需安装包等, 请见[code/README.md](#).

测试算例的生成代码如下, 其形式与默认随机种子与给定的matlab代码完全一致, 但是由于matlab和python在相同随机数生成器下生成正态分布的方式可能不完全相同, 因此生成的测试算例可能不同. 接下来同样会测试在其他种子下的数值表现情况.

```
1 def gen_data(seed=97006855):
2     n, m, l = 512, 256, 2
3     mu = 1e-2
4     generator = random.Generator(random.MT19937(seed=seed))
5     A = generator.standard_normal(size=(m, n))
6     k = round(n * 0.1)
7     p = generator.permutation(n)[:k]
8     u = np.zeros(shape=(n, l))
9     u[p, :] = generator.standard_normal(size=(k, l)) # ground truth
10    b = np.matmul(A, u)
11    x0 = generator.standard_normal(size=(n, l))
12    errfun = lambda x1, x2: norm(x1 - x2, 'fro') / (1 + norm(x1, 'fro'))
13    errfun_exact = lambda x: norm(x - u, 'fro') / (1 + norm(x, 'fro'))
14    sparsity = lambda x: np.sum(np.abs(x) > 1e-6 * np.max(np.abs(x))) / (n * l)
15    return n, m, l, mu, A, b, u, x0, errfun, errfun_exact, sparsity
```

Problem #1

Solve (1.1) using CVX by calling different solvers **mosek** and **gurobi**.

我们在python中使用了 **cvxpy** 来调用CVX, 并分别设置了使用 **mosek** 和 **gurobi** 来求解题目的优化问题, 相关代码分别为 **gl_cvx_mosek.py** 和 **gl_cvx_gurobi.py**.

Problem #2

First write down an equivalent model of (1.1) which can be solved by calling mosek and gurobi directly, then implement the codes.

使用 **mosek** solver的代码在 **gl_mosek.py** 中. 对于 $\|A * x - b\|_2^2$, 我们可以把其写成rotated quadratic cone的形式. 不妨设 $A * x - b = z$ 和辅助变量 $t^{(1)} \in R$, 则 $(\frac{1}{2}, t^{(1)}, z)$ 构成一个rotated quadratic cone.

$$2 \times \frac{1}{2} \times t^{(1)} \geq \sum_{i,j} z_{i,j}^2 \quad (1)$$

其在 **mosek** 中可以写成如下形式:

```
1 z = Expr.sub(Expr.mul(A, x), b)
2 flatten_z = Expr.flatten(z)
3 M.constraint(Expr.vstack(0.5, t1, flatten_z), Domain.inRotatedQCone())
```

对于 $\|x\|_{1,2}$, 我们可以写成若干个quadratic cone的形式. 设辅助变量 $t^{(2)} \in R^n$, 则有

$$t_i^{(2)} \geq \sqrt{\sum_j x_{i,j}^2} \quad (2)$$

其核心代码为:

```
1 h = Expr.hstack(t2, x)
2 # If d=2, it means that each row of a matrix must belong to a cone.
3 M.constraint(h, Domain.inQCone())
```

使用 **gurobi** solver的代码在 **gl_gurobi.py** 中, 与 **mosek** 类似, 可写成:

```
1 with gp.Model('Gurobi', env=env) as M:
2     # The default lower bound is 0.
3     x = M.addMVar(shape=(n, l), name='x', lb=-gp.GRB.INFINITY)
4     t2 = M.addMVar(shape=(n,), name='t2')
5     z = M.addMVar(shape=b.shape, name='z', lb=-gp.GRB.INFINITY)
6
7     cost = mu * t2.sum()
8     for i in range(m):
9         cost += z[i, :] @ z[i, :] * 0.5
10    M.setObjective(cost)
11
12    M.addConstrs(z[:, i] + b[:, i] == A @ x[:, i] for i in range(l))
```

```

13 M.addConstrs(t2[i] @ t2[i] >= x[i, :] @ x[i, :] for i in range(n))
14
15 M.optimize()

```

目前以上四种方法在默认随机种子下的输出结果如下:

solver	cpu	iter	optval	sparsity	err-to-exact	err-to-cvx-mosek	err-to-cvx-gurobi
CVX-Mosek	0.31	-1	6.10377E-01	0.1201	4.02E-05	0.00E+00	3.33E-07
CVX-Gurobi	0.69	-1	6.10377E-01	0.1211	4.03E-05	3.33E-07	0.00E+00
Mosek	0.29	11	6.10377E-01	0.1201	4.03E-05	9.49E-08	2.79E-07
Gurobi	0.23	12	6.10378E-01	0.1182	4.01E-05	9.17E-07	9.85E-07

我们可以看到, 总体上看, Gurobi在运行时间, 稀疏程度和恢复效果上均占有一定的优势.

Problem #3 (a) & (b)

(a) Subgradient method for the primal problem.

(b) Gradient method for the smoothed primal problem.

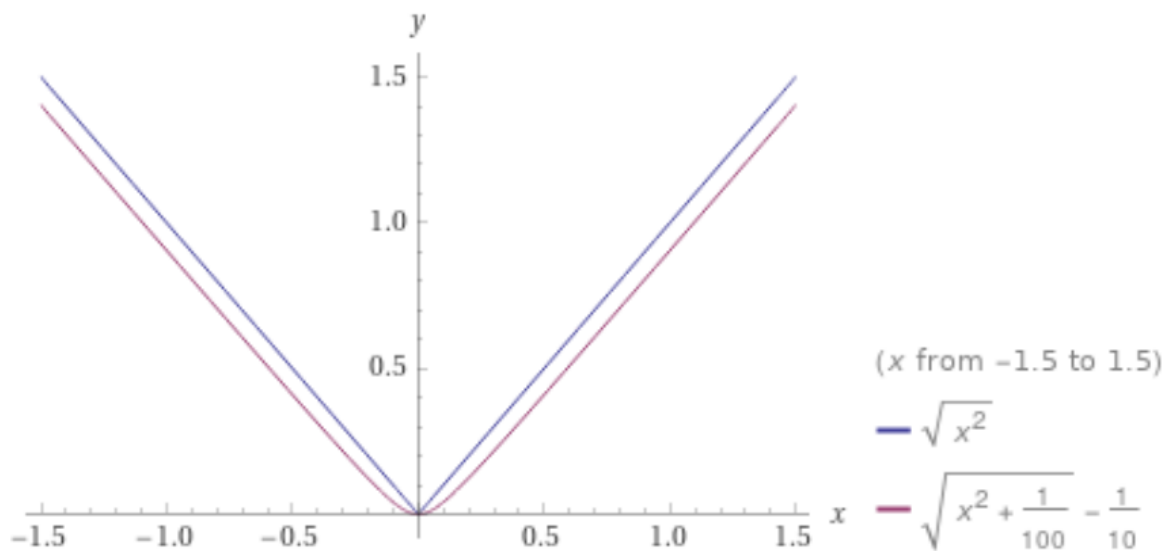
首先给出这两个问题的数学形式. 对于问题(a), 设目标函数为 $f(x) = \frac{1}{2} \|Ax - b\|_F^2 + \mu \|x\|_{1,2}$. 其中 $\|Ax - b\|_F^2$ 部分可导, 其次梯度为 $\partial \|Ax - b\|_F^2 = \{A^T(Ax - b)\}$. 对于 $\|x\|_{1,2}$ 我们分行考虑次梯度. 对于行向量 $x(i, 1:l)$ ($1 \leq i \leq n$) 的范数 $\|x(i, 1:l)\|_2$, 其在 $x(i, 1:l) = 0$ 处不可微, 经过计算我们可以求出在 $x(i, 1:l) = 0$ 时的次梯度, 即

$$\partial \|x(i, 1:l)\|_2 = \begin{cases} \frac{x(i, 1:l)}{\|x(i, 1:l)\|_2} & , \|x(i, 1:l)\|_2 \neq 0 \\ 0 & , \|x(i, 1:l)\|_2 = 0 \end{cases}$$

故

$$\partial f(x) = A^T(Ax - b) + \mu \begin{pmatrix} \partial \|x(1, 1:l)\|_2 \\ \partial \|x(2, 1:l)\|_2 \\ \dots \\ \partial \|x(n, 1:l)\|_2 \end{pmatrix} \quad (3)$$

对于问题(b), 我们重点考虑 $\|x\|_{1,2}$ 我们分行考虑后的行向量范数 $\|x(i, 1:l)\|_2$ ($1 \leq i \leq n$) 的平滑问题. 我们引入小参数 $\delta > 0$, 则 $\|x(i, 1:l)\|_2$ 可被平滑为 $\sqrt{\|x(i, 1:l)\|_2^2 + \delta^2} - \delta$, 其中当 δ 越小时, 平滑效果越不明显. 下图显示显示了 $\delta = 0.1$ 时的对 $y = \sqrt{x^2}$ 的平滑效果:



下面介绍将算法的细节.问题(a)的代码在[gl_SGD_primal.py](#)中. 这里传入的默认构造参数及其定义如下:

```
1  default_opts = {
2      "maxit": 2100,          # 内循环最大迭代次数
3      "thres": 1e-3,         # 判断小量是否被认为 0 的阈值
4      "step_type": "diminishing", # 步长衰减的类型 (见辅助函数)
5      "alpha0": 1e-3,        # 步长的初始值
6  }
```

这里使用了连续化次梯度策略, 重定义原问题的正则化系数为 μ_0 , 算法枚举了三个递减的正则化系数: $100\mu_0$, $10\mu_0$ 和 μ_0 . 外循环按照递减顺序枚举构造的正则化系数(不妨在循环内部设为 μ), 内循环默认运行 $maxit$ 次迭代.

```
1  for mu in [ 100 * mu_0, 10 * mu_0, mu_0 ]:
2      .....
3      inn_iter = 0
4      while inn_iter < maxit:
5          .....
```

按照之前分析的数学形式, 其目标函数和梯度的计算如下:

```
1  def obj_func(x: np.ndarray):
2      fro_term = 0.5 * np.sum((A @ x - b) ** 2)
3      regular_term = np.sum(LA.norm(x, axis=1).reshape(-1, 1))
4      return fro_term + mu * regular_term
5
6  def subgrad(x: np.ndarray):
7      fro_term_grad = A.T @ (A @ x - b)
8      regular_term_norm = LA.norm(x, axis=1).reshape(-1, 1)
9      regular_term_grad = x / ((regular_term_norm < thres) + regular_term_norm)
10     grad = fro_term_grad + mu * regular_term_grad
11     return grad
```

关于步长的选择, 我们仅在连续化外层循环的最后一步使用步长衰减, 其余使用固定步长:

```

1  def set_step(step_type):
2      iter_hat = max(inn_iter, 1000) - 999
3      if step_type == 'fixed' or mu > mu_0:
4          return alpha0
5      elif step_type == 'diminishing':
6          return alpha0 / np.sqrt(iter_hat)
7      elif step_type == 'diminishing2':
8          return alpha0 / iter_hat
9      else:
10         logger.error("Unsupported type.")

```

在内循环内部, 我们使用次梯度法进行迭代; 同时, 对于绝对值小于给定阈值的分量, 我们直接设为0

```

1  for mu in [ 100 * mu_0, 10 * mu_0, mu_0 ]:
2      .....
3      inn_iter = 0
4      while inn_iter < maxit:
5          .....
6          inn_iter += 1
7          x[ np.abs(x) < thres ] = 0
8          sub_g = subgrad(x)
9          alpha = set_step(opts[ "step_type" ])
10         x = x - alpha * sub_g
11         .....

```

问题(b)的代码在gl_GD_primal.py中. 其默认参数为:

```

1  default_opts = {
2      "maxit": 2500,          # 最大迭代次数
3      "thres": 1e-3,         # 判断小量是否被认为 0 的阈值
4      "step_type": "diminishing", # 步长衰减的类型 (见辅助函数)
5      "alpha0": 1e-3,        # 步长的初始值
6      "delta": 1e-3,         # 光滑化参数
7  }

```

问题(b)的代码与问题(a)的类似, 与问题(a)的主要区别在于梯度的计算上:

```

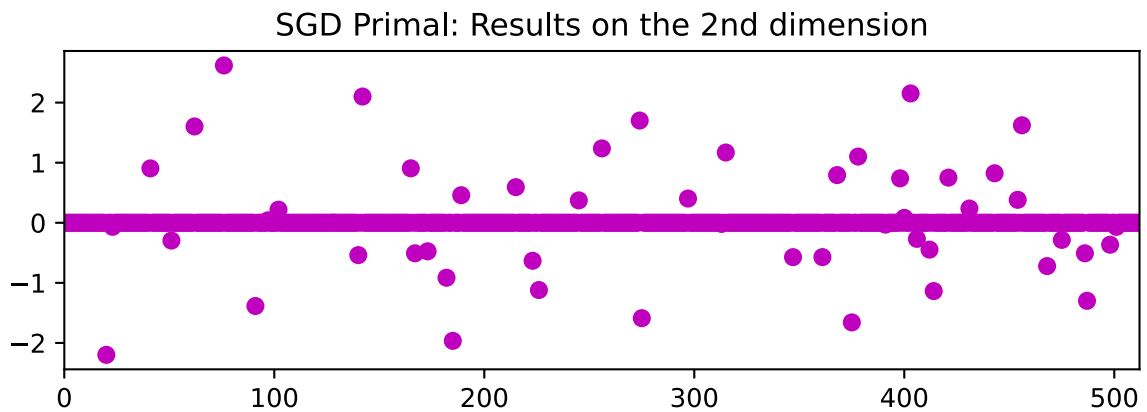
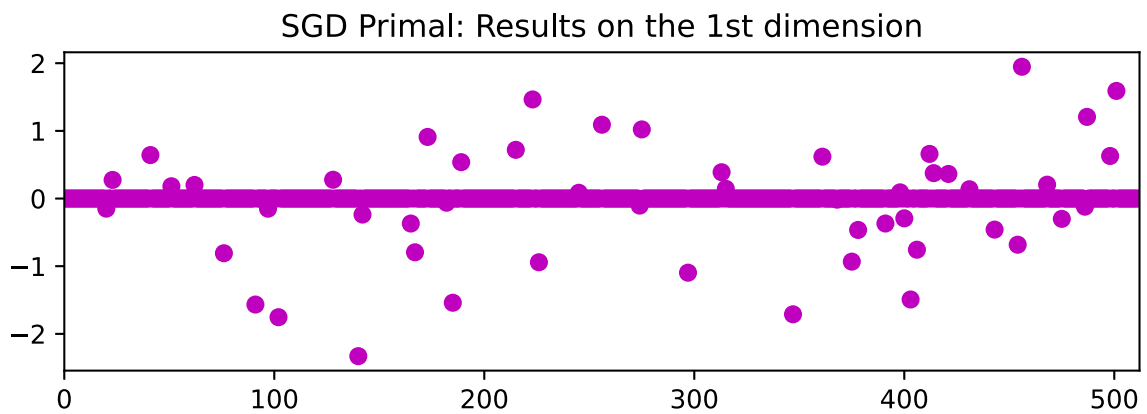
1  def subgrad(x: np.ndarray):
2      fro_term_grad = A.T @ (A @ x - b)
3      regular_term_grad = x / np.sqrt(np.sum(x ** 2, axis=1).reshape(-1, 1) + delta * delta)
4      grad = fro_term_grad + mu * regular_term_grad
5      return grad

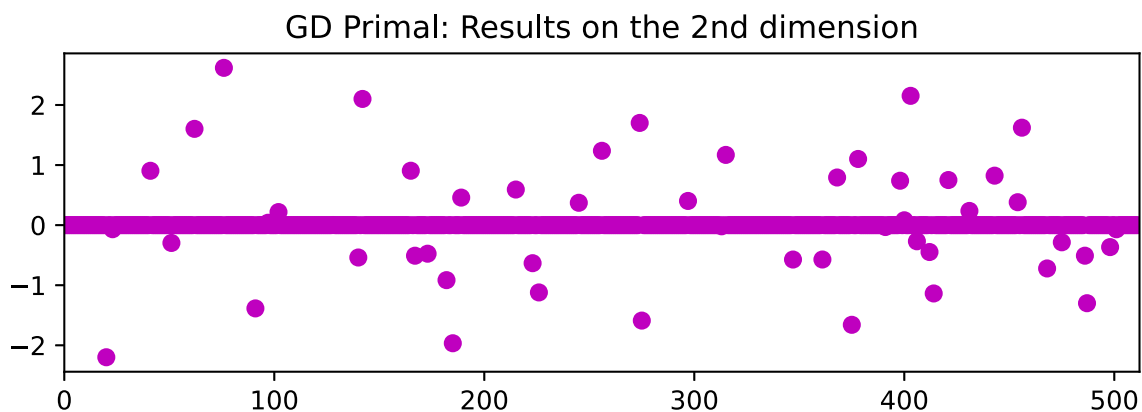
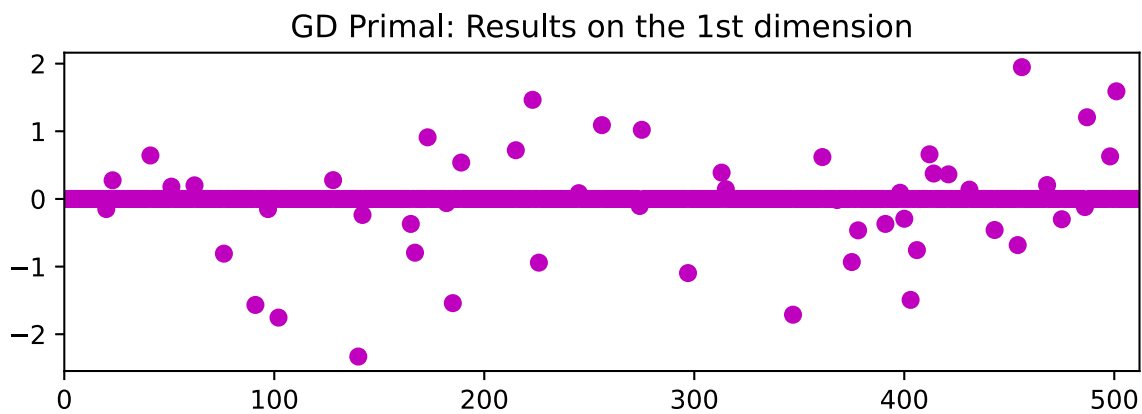
```

以下列出这两个问题的统计数据. 在默认随机种子下, 相比于CVX mosek/gurobi, 其运行时间, 稀疏程度, 恢复效果, 迭代次数等如下. 其中运行时间约CVX-Gurobi的三倍, 最优函数值与CVX mosek/gurobi相当, 稀疏程度达到构造数据时期望的0.1, 甚至小于CVX mosek/gurobi的稀疏程度, 与CVX mosek/gurobi的恢复效果也相当接近.

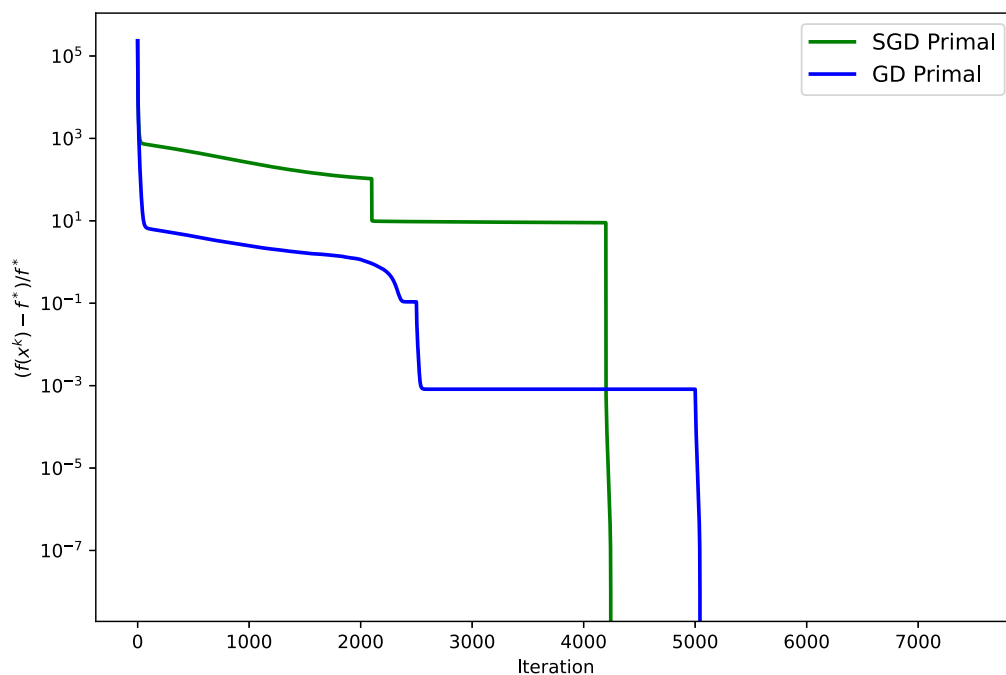
solver	cpu	iter	optval	sparsity	err-to-exact	err-to-cvx-mosek	err-to-cvx-gurobi
CVX-Mosek	0.33	-1	6.10377E-01	0.1201	4.02E-05	0.00E+00	3.33E-07
CVX-Gurobi	0.71	-1	6.10377E-01	0.1211	4.03E-05	3.33E-07	0.00E+00
SGD Primal	2.08	6300	6.10378E-01	0.0996	3.79E-05	4.30E-06	4.43E-06
GD Primal	2.44	7500	6.10378E-01	0.0996	3.79E-05	4.31E-06	4.44E-06

SGD Primal和GD Primal的结果与ground truth u 的比较如下. 我们可以看到, 基本上绝大部分的ground truth的分量都可以还原.





下图是分别是SGD Primal和GD Primal的 $(f(x^k) - f^*)/f^*$ 随iteration变化的曲线, 其中 $f^* = f(u)$. 这里垂直的线出现的原因是由于目标函数中的正则项的存在, ground truth u 不一定最小化目标函数, 因此 $f(x^k) - f^*$ 可能为负数. 这也从侧面说明, 我们的实现如果仅关注此目标函数下, 可以得到比原问题得到的函数值更小的解.



为说明算法在其他种子下的表现情况, 使用其他随机种子 $seed = 114514$, 其得到的结果如下: 我们可以看到算法在其他种子下表现稳定.

solver	cpu	iter	optval	sparsity	err-to-exact	err-to-cvx-mosek	err-to-cvx-gurobi
CVX-Mosek	0.33	-1	6.19068E-01	0.1064	4.03E-05	0.00E+00	8.48E-07
CVX-Gurobi	0.70	-1	6.19068E-01	0.1064	4.10E-05	8.48E-07	0.00E+00
SGD Primal	2.09	6300	6.19068E-01	0.0996	3.97E-05	1.21E-06	1.84E-06
GD Primal	2.43	7500	6.19068E-01	0.0996	3.97E-05	1.21E-06	1.84E-06

Problem #3 (c) (d) & (e)

(c) Fast (Nesterov/accelerated) gradient method for the smoothed primal problem.

(d) Proximal gradient method for the primal problem.

(e) Fast proximal gradient method for the primal problem.

(c) 首先讨论在光滑化后的问题上使用Nesterov梯度算法, 此部分代码在[gl_FGD_primal.py](#)中. 原目标函数经过光滑化后为

$$f(x) = \frac{1}{2} \|Ax - b\|_F^2 + \mu \sum_{i=1}^n (\sqrt{\|x(i; 1:l)\|_2^2 + \delta^2} - \delta) \quad (4)$$

其中 $\delta > 0$ 为光滑化参数. 经过光滑化后, 整个目标函数处处光滑, 类似于Nesterov梯度算法的常见形式. 我们可以将光滑化后的优化问题写为

$$\min f(x) = g(x) + h(x) \quad (5)$$

其中 $g(x) = f(x)$ 是光滑的凸函数, $h(x) = 0$ 是闭凸函数. 容易写出此时 $h(x)$ 的近似点算子即为 $\text{prox}_{th}(x) = x$. 此部分在代码中核心部分如下:

```

1  def g_func(x: np.ndarray):
2      fro_term = 0.5 * np.sum((A @ x - b) ** 2)
3      regular_term = np.sum(np.sqrt(np.sum(x ** 2, axis=1).reshape(-1, 1) + delta * delta) -
4      delta)
5      return fro_term + mu * regular_term
6
7  def grad_g_func(x: np.ndarray):
8      fro_term_grad = A.T @ (A @ x - b)
9      regular_term_grad = x / np.sqrt(np.sum(x ** 2, axis=1).reshape(-1, 1) + delta * delta)
10     return fro_term_grad + mu * regular_term_grad
11
12     .....
13
14     def prox_th(x: np.ndarray, t):

```



```

14     """ Proximal operator of  $t * \mu * h(x)$ .
15     """
16     return x

```

不妨设选择 $v^{(0)} = x^{(0)}$, 以及定义 $\theta_k = \frac{2}{k+1}$, 重复以下的迭代过程:

$$\begin{aligned}
 y &= (1 - \theta_k)x^{(k-1)} + \theta_k v^{(k-1)} \\
 x^{(k)} &= \text{prox}_{t_k h}(y - t_k \nabla g(y)) \\
 v^{(k)} &= x^{(k-1)} + \frac{1}{\theta_k}(x^{(k)} - x^{(k-1)})
 \end{aligned}$$

其中 t_k 通过线搜索的方式得到. 此部分的核心代码如下:

```

1  theta = 2 / (inner_iter + 1)
2  y = (1 - theta) * x_k + theta * v_k
3  grad_g_y = grad_g_func(y)
4
5  t = set_step(step_type)
6  x = prox_th(y - t * grad_g_y, t)
7  v = x_k + (x - x_k) / theta
8
9  x_k, v_k, t_k = x, v, t

```

(d) 线搜索部分的算法框架与核心代码如下:

$$\begin{aligned}
 t &:= t_{k-1} \quad (\text{define } t_0 = \hat{t} > 0) \\
 x &:= \text{prox}_{th}(y - t \nabla g(y)) \\
 \text{while } g(x) &> g(y) + \nabla g(y)^T (x - y) + \frac{1}{2t} \|x - y\|_2^2 \\
 t &:= \beta t \\
 x &:= \text{prox}_{th}(y - t \nabla g(y))
 \end{aligned}$$

```

1  t = t_k
2  g_y = g_func(y)
3  grad_g_y = grad_g_func(y)
4
5  def stop_condition(t):
6      x = prox_th(y - t * grad_g_y, t)
7      g_x = g_func(x)
8      return g_x <= g_y + np.sum(grad_g_y * (x - y)) + np.sum((x - y) ** 2) / (2 * t)
9
10 for i in range(max_line_search_iter):
11     if stop_condition(t):
12         break
13     t *= aten_coeffi
14 return t

```

近似点梯度算法的代码在 `gl_ProxGD_primal.py` 中. 对于原目标函数

$$f(x) = \frac{1}{2} \|Ax - b\|_F^2 + \mu \sum_{i=1}^n \|x(i; 1:l)\|_2,$$

我们将优化问题重写为:

$$\min f(x) = g(x) + h(x) \tag{6}$$

其中 $g(x) = \frac{1}{2} \|Ax - b\|_F^2$ 是光滑的凸函数, $h(x) = \mu \sum_{i=1}^n \|x(i; 1:l)\|_2$ 是强凸函数. 容易证明 $p(x) = \|x\|_2$ 的近似点算子为:

$$\text{prox}_{tp}(x) = \begin{cases} (1 - t/\|x\|_2) x & \|x\|_2 \geq t \\ 0 & \text{otherwise} \end{cases} \quad (7)$$

对于 $h(x)$, 我们对 x 的每一行按照如上方式即可求得 $h(x)$ 的近似点算子 $\text{prox}_{th}(x)$, 其核心代码如下:

```
1 def prox_th(x: np.ndarray, t):
2     """ Proximal operator of t * mu * h(x).
3     """
4     t_mu = t * mu
5     row_norms = LA.norm(x, axis=1).reshape(-1, 1)
6     rv = x * np.clip(row_norms - t_mu, a_min=0, a_max=None) / ((row_norms < thres) +
7     row_norms)
8     return rv
```

近似点梯度法的迭代方式为:

$$x^{(k)} = \text{prox}_{t_k h} \left(x^{(k-1)} - t_k \nabla g \left(x^{(k-1)} \right) \right), \quad k \geq 1 \quad (8)$$

其中 t_k 通过线搜索的方式得到, 其算法框架与核心代码为:

```
define  $G_t(x) = \frac{1}{t} (x - \text{prox}_{th}(x - t \nabla g(x)))$ 
 $t := \hat{t} > 0$ 
while  $g(x - t G_t(x)) > g(x) - t \nabla g(x)^T G_t(x) + \frac{t}{2} \|G_t(x)\|_2^2$ 
     $t := \beta t$ 
```

```
1 g_x = g(x)
2
3 def stop_condition(x, t):
4     gt_x = Gt(x, t)
5     return (g(x - t * gt_x)
6             <= g_x - t * np.sum(grad_g * gt_x) + 0.5 * t * np.sum(gt_x ** 2))
7
8 alpha = alpha0
9 for i in range(max_line_search_iter):
10     if stop_condition(x, alpha):
11         break
12     alpha *= aten_coeffi
13 return alpha
```

```

1 g_x = g(x)
2
3 def stop_condition(x, t):
4     gt_x = Gt(x, t)
5     return (g(x - t * gt_x)
6             <= g_x - t * np.sum(grad_g * gt_x) + 0.5 * t * np.sum(gt_x ** 2))
7
8 alpha = alpha0
9 for i in range(max_line_search_iter):
10     if stop_condition(x, alpha):
11         break
12     alpha *= aten_coeffi
13 return alpha

```

(e) 在原问题上使用Nesterov梯度算法见[gl_FProxGD_primal.py](#).基本与问题(c)类似, 我们仅仅需要重新定义优化问题:

$$\min f(x) = g(x) + h(x) \quad (9)$$

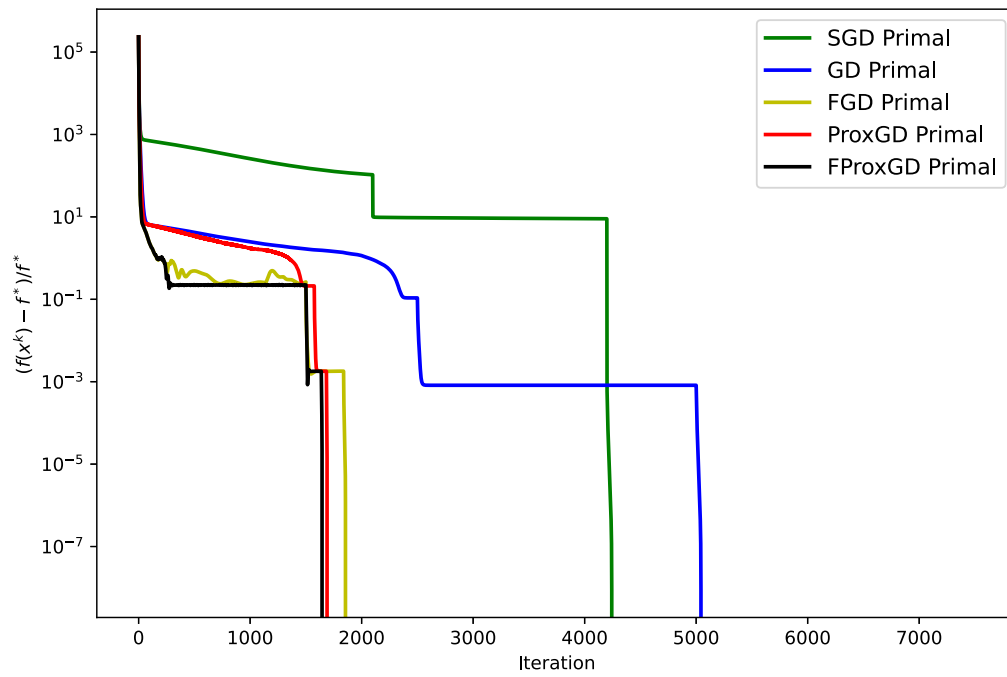
其中 $g(x) = \frac{1}{2} \|Ax - b\|_F^2$ 是光滑的凸函数, $h(x) = \mu \sum_{i=1}^n \|x(i; 1:l)\|_2$ 是强凸函数, 其与问题(c)主要不同的代码如下:

```

1 def g_func(x: np.ndarray):
2     return 0.5 * np.sum((A @ x - b) ** 2)
3
4 def grad_g_func(x: np.ndarray):
5     return A.T @ (A @ x - b)
6
7 .....
8
9 def prox_th(x: np.ndarray, t):
10     """ Proximal operator of t * mu * h(x).
11     """
12     t_mu = t * mu
13     row_norms = LA.norm(x, axis=1).reshape(-1, 1)
14     rv = x * np.clip(row_norms - t_mu, a_min=0, a_max=None) / ((row_norms < thres) +
15     row_norms)
16     return rv

```

以下列出了问题(a)-(e)得到的图表和统计数据. 在默认随机种子下, 相比于CVX mosek/gurobi, 其运行时间, 稀疏程度, 恢复效果, 迭代次数等如下. 我们可以看到在原问题上使用近似点梯度算法和Nesterov梯度算法具有较小的迭代数和较小的运行时间, 从统计数据上看基本达到和次梯度法相近的解, 但运行时间要小得多.



solver	cpu	iter	optval	sparsity	err-to-exact	err-to-cvx-mosek	err-to-cvx-gurobi
CVX-Mosek	0.32	-1	6.10377E-01	0.1201	4.02E-05	0.00E+00	3.33E-07
CVX-Gurobi	0.73	-1	6.10377E-01	0.1211	4.03E-05	3.33E-07	0.00E+00
SGD Primal	2.02	6300	6.10378E-01	0.0996	3.79E-05	4.30E-06	4.43E-06
GD Primal	2.41	7500	6.10378E-01	0.0996	3.79E-05	4.31E-06	4.44E-06
FGD Primal	1.24	2037	6.10378E-01	0.1221	4.21E-05	2.39E-06	2.27E-06

solver	cpu	iter	optval	sparsity	err-to-exact	err-to-cvx-mosek	err-to-cvx-gurobi
ProxGD Primal	1.53	1768	6.10377E-01	0.0996	3.79E-05	4.38E-06	4.52E-06
FProxGD Primal	1.09	1721	6.10377E-01	0.0996	3.79E-05	4.38E-06	4.52E-06

Problem #4 (f) (g) & (h)

(f) Augmented Lagrangian method for the dual problem.

(g) Alternating direction method of multipliers for the dual problem.

首先引入约束, 构造对偶问题. 不妨设 $y = Ax - b$, 原问题写成

$$\begin{aligned} \min_{x,y} & f(x) + g(y) \\ \text{s.t.} & Ax - b - y = 0 \end{aligned}$$

其中 $f(x) = \mu \|x\|_{1,2}$, $g(y) = \frac{1}{2} \|y\|_F^2$, 其拉格朗日函数为

$$L(x, y, z) = f(x) + g(y) + \langle z, Ax - b - y \rangle \quad (10)$$

$$h(z) = \inf_{x,y} L(x, y, z) = -f^*(-A^T z) - g^*(z) - \langle b, z \rangle \quad (11)$$

设 $p(x) = \|x\|_2$ ($x \in R^l$) 为向量的2范数, 其对偶范数为其本身, 故其共轭函数为 $p^*(x) = \begin{cases} 0, & \|x\|_2 \leq 1 \\ \infty, & \text{otherwise} \end{cases}$. 由于 $f(x) = \mu \sum_{i=1}^n p(x_i)$, 故 $f^*(x) = \sum_{i=1}^n p^*(\frac{1}{\mu} x_i)$. 另一方面, 容易得到 g 的共轭函数即为自身, 即 $g^*(z) = g(z)$. 故其对偶问题为:

$$\begin{aligned} \min_{z,u} & g(z) + \langle b, z \rangle \\ \text{s.t.} & u + A^T z = 0 \\ & \|u_i\|_2 \leq \mu, \quad i = 1, \dots, n \end{aligned}$$

引入乘子 x , 可以证明此乘子恰好是原问题在自变量. 其增广拉格朗日函数为:

$$L_\rho(z, u, x) = g(z) + \langle b, z \rangle - \langle x, u + A^T z \rangle + \frac{\rho}{2} \|u + A^T z\|_F^2 \quad (12)$$

$$\text{s.t. } \|u_i\|_2 \leq \mu, \quad i = 1, \dots, n \quad (13)$$

迭代方式为:

$$z^{k+1}, u^{k+1} = \arg \min_{z, u, \|u_i\|_2 \leq \mu} L_\rho(z, u, x^k) \quad (14)$$

$$= \arg \min_{z, u, \|u_i\|_2 \leq \mu} \frac{1}{2} \|z\|_F^2 + \langle b, z \rangle - \langle x^k, u + A^T z \rangle + \frac{\rho}{2} \|u + A^T z\|_F^2 \quad (15)$$

$$= \arg \min_{z, u, \|u_i\|_2 \leq \mu} \frac{1}{2} \|z\|_F^2 + \langle b, z \rangle + \frac{\rho}{2} \|u + A^T z - \frac{1}{\rho} x^k\|_F^2 \quad (16)$$

$$x^{k+1} = x^k - \tau \rho (u^{k+1} + A^T z^{k+1}) \quad (17)$$

其中式子(16)可以通过梯度类算法进行求解. 由KKT条件可得 $z = (1 + \rho A A^T)^{-1} (A x^k - \rho A u - b)$. 消去 z 得到:

$$\min_u \frac{1}{2} \|(1 + \rho AA^T)^{-1} (Ax^k - \rho Au - b)\|_F^2 + \langle b, (1 + \rho AA^T)^{-1} (Ax^k - \rho Au - b) \rangle + \frac{\rho}{2} \|u + A^T (1 + \rho AA^T)^{-1} (Ax^k - \rho Au - b) - \frac{1}{\rho} x^k\|_F^2 \quad (18)$$

$$s.t. \|u_i\|_2 \leq \mu \quad (19)$$

在实现中我们使用了nestrov算法进行求解, 使用增广拉格朗日函数法求解对偶问题的完整代码见 [gl_ALM_dual.py](#).

交替方向乘子法的代码见[gl_ADMM_dual.py](#), 其大体与增广拉格朗日函数法相似, 不同点在于把迭代过程中的联合求极小改成交替求极小. 由KKT条件得到:

$$z^{k+1} = (1 + \rho AA^T)^{-1} (Ax^k - \rho Au^k - b) \quad (20)$$

$$u^{k+1} = \mathcal{P}_B\left(\frac{1}{\rho} x^k - A^T z^{k+1}\right) \quad (21)$$

其中 $\mathcal{P}_B(x)$ 为投影算子, 其为:

$$\mathcal{P}_B^i(x) = \frac{\mu x_i}{\max(\mu, \|x_i\|_2)} \quad (22)$$

为了加快速度, 可以使用缓存分解技术, 对 $1 + \rho AA^T$ 进行Cholesky分解.

(h) Alternating direction method of multipliers with linearization for the primal problem.

对原问题使用线性化的交替方向乘子法的代码见[gl_ADMM_primal.py](#). 首先引入约束, 原问题写成

$$\begin{aligned} \min_{x,y} & f(x) + g(y) \\ \text{s.t.} & x - y = 0 \end{aligned}$$

其中 $f(x) = \mu \|x\|_{1,2}$, $g(y) = \frac{1}{2} \|Ay - b\|_F^2$.

对于原问题的增广拉格朗日函数为:

$$L_t(x, y, z) = f(x) + g(y) - \langle z, x - y \rangle + \frac{\rho}{2} \|x - y\|_F^2 \quad (23)$$

使用交替方向乘子法, 其迭代更新方式为:

$$y^{k+1} = \arg \min_y L_\rho(x^k, y, z^k) = (\rho I + A^T A)^{-1} (A^T b - z^k + \rho x^k) \quad (24)$$

$$x^{k+1} = \arg \min_x L_\rho(x, y^{k+1}, z^k) \quad (25)$$

$$= \arg \min_x \mu \|x\|_{1,2} - \langle z^k, x \rangle + \frac{\rho}{2} \|x - y^{k+1}\|_F^2 \quad (26)$$

$$= \arg \min_x \mu \|x\|_{1,2} + \frac{\rho}{2} \|x - y^{k+1} - \frac{1}{\rho} z^k\|_F^2 \quad (27)$$

$$= \text{prox}_{\frac{1}{\rho} f}(y^{k+1} + \frac{1}{\rho} z^k) \quad (28)$$

$$z^{k+1} = z^k - \tau \rho (x^{k+1} - y^{k+1}) \quad (29)$$

对 x^{k+1} 的更新使用一次近似点梯度步进行线性化,

$$x^{k+1} = \arg \min_x \mu \|x\|_{1,2} + \rho \langle x^k - y^{k+1} - \frac{1}{\rho} z^k, x \rangle + \frac{1}{2\eta_k} \|x - x^k\|_F^2 \quad (30)$$

$$= \arg \min_x \mu \|x\|_{1,2} + \frac{1}{2\eta_k} \|x - x^k + \eta_k \rho (x^k - y^{k+1} - \frac{1}{\rho} z^k)\|_F^2 \quad (31)$$

$$= \arg \min_x \text{prox}_{\eta_k f}(x_k - \eta_k \rho (x^k - y^{k+1} - \frac{1}{\rho} z^k)) \quad (32)$$

以下列出了问题(a)-(h)得到的图表和统计数据. 在默认随机种子下, 相比于CVX mosek/gurobi, 其运行时间, 稀疏程度, 恢复效果, 迭代次数等如下. 我们可以看到, ALM和ADMM方法其迭代次数远小于之前的方法, 但是在由于ALM需要在内部使用梯度类算法求解子问题, ADMM内部求解子问题时需要进行的矩阵运算规模更大, 所以ALM和ADMM的单次迭代运行时间会更长, 总的求解时间会更长. 从编程复杂度和超参复杂程度上看, ADMM类算法无需使用连续化策略, 算法形式更加简洁. 从结构上看, ALM和ADMM的结果质量略逊于之前的算法, 因此实际应用的时候, 可以将ADMM与其他高精度算法结合起来, 这样从一个acceptable的结果变得在预期时间内可以达到较高收敛精度.

solver	cpu	iter	optval	sparsity	err-to-exact	err-to-cvx-mosek	err-to-cvx-gurobi
CVX-Mosek	0.32	-1	6.10377E-01	0.1201	4.02E-05	0.00E+00	3.33E-07
CVX-Gurobi	0.69	-1	6.10377E-01	0.1211	4.03E-05	3.33E-07	0.00E+00
SGD Primal	2.09	6300	6.10378E-01	0.0996	3.79E-05	4.30E-06	4.43E-06
GD Primal	2.48	7500	6.10378E-01	0.0996	3.79E-05	4.31E-06	4.44E-06
FGD Primal	1.24	2037	6.10378E-01	0.1221	4.21E-05	2.39E-06	2.27E-06
ProxGD Primal	1.55	1768	6.10377E-01	0.0996	3.79E-05	4.38E-06	4.52E-06
FProxGD Primal	1.07	1721	6.10377E-01	0.0996	3.79E-05	4.38E-06	4.52E-06
ALM Dual	10.40	39	6.10389E-01	0.3467	4.39E-05	8.54E-06	8.50E-06
ADMM Dual	2.12	71	6.10786E-01	0.0996	1.98E-04	1.85E-04	1.85E-04
ADMM Primal	6.23	63	6.10421E-01	0.0996	9.01E-05	6.34E-05	6.34E-05

